



دانشگاه تهران
پردیس دانشکده‌های فنی
دانشکده مهندسی معدن



پایان نامه برای دریافت درجه کارشناسی ارشد
(مهندسی اکتشاف نفت)

عنوان

شبیه‌سازی زمین‌آماری پارامترهای پتروفیزیکی یکی از میادین
نفتی جنوب‌غربی ایران با روش SGS

استاد راهنما:

دکتر علی‌اصغر حسنی‌پاک

استاد مشاور:

مهندس مشرفی‌زاده

نگارش:

سجاد بهزادی

تقدیر و تشکر:

استاد گرامی جناب آقای دکتر علی‌اصغر حسنی‌پاک

بر خود لازم می‌دانم از زحمات و راهنمایی‌های جنابعالی که مرا در انجام این پایان‌نامه یاری نموده‌اید سپاسگذاری نمایم.

و از جناب آقای مهندس مشرفی‌زاده در شرکت مهندسی و توسعه نفت که شرایط استفاده از داده‌های پتروفیزیکی میدان مورد مطالعه را فراهم نمودند تشکر می‌نمایم. همچنین از زحمات دوستان عزیزم جناب آقایان مهندس ایوب نارک‌نژاد، مهندس رضا قیامی، مهندس امین جودکی، مهندس حجت شفیعی که در آماده سازی این پایان‌نامه مرا یاری نمودند تقدیر می‌نمایم.

تقدیم به پدر و مادر عزیز و مهربانی

چکیده

این میدان یکی از میادین نفتی جنوب غربی ایران می باشد. که سنگ مخزن آسماری در این میدان شبیه سازی می شود.

پارامتر های پتروفیزیکی این میدان شامل تخلخل و درجه اشباع آب بود که که مربوط به ۲۱ چاه در میدان بود که شبیه سازی شدند. میانگین تخلخل و در اشباع آب به ترتیب $0.9 / 420 / 0.9$ می باشد. با استفاده از روش شبیه سازی گوسی متوالی در ابتدا ۲ پارامتر تخلخل و درجه اشباع بطور جداگانه شبیه سازی شد. سپس متغیر $(S_w - 1)\varphi$ ساخته شد که این متغیر به دو روش غیر مستقیم و مستقیم مدلسازی شد.

برای شبیه سازی هر کدام از پارامتر ها ابتدا مطالعات آماری بر روی آنها انجام شد و در نهایت داده ها نرمال استاندارد شدند. مطالعات واریو گرافی بر روی داده های نرمال انجام شد که جهات اصلی ناهمسانگردی در راستای ۱۳۵ (حد اکثر) و ۴۵ (حداقل) انتخاب شدند. سپس شبیه سازی با ۱۰۰ تحقق انجام شد. در اینجا برای شبیه سازی از واریو گرام و هیستو گرام بعنوان شروط شبیه سازی استفاده شد که بخوبی باز تولید شدند. مقایسه ای بین مدلسازی مستقیم و غیر مستقیم متغیر $(S_w - 1)\varphi$ انجام شد که در نهایت شبیه سازی مستقیم نتایج بهتری نشان داد. در نهایت میزان ذخیره درجا بر حسب حد آستانه های متفاوت از پارامتر $(S_w - 1)\varphi$ در سطوح اعتماد $0.90 / 0.95$ بدست آورده شد.

فهرست مطالب

عنوان	صفحه
..... مقدمه	۱
..... بخش اول: اصول زمین آمار کاربردی	۳
..... فصل اول	۴
..... مقدمه ای بر زمین آمار	۴
..... ۱-۱- مقدمه	۵
..... ۱-۱-۱- تاریخچه زمین آمار	۵
..... ۱-۱-۲- تعریف زمین آمار	۵
..... ۱-۲- واریو گرام	۵
..... ۱-۳- کریجینگ زمین آماری	۸
..... ۱-۳-۱- تخمینگر خطی	۸
..... ۱-۳-۲- واریانس تخمین	۹
..... ۱-۳-۳- می نیمم سازی واریانس	۱۰
..... ۱-۴- کواریانس مقادیر تخمین زده شده	۱۱
..... ۱-۴-۱- واریانس مقادیر تخمین زده شده	۱۱
..... ۱-۴-۲- شبیه سازی زمین آماری	۱۲
..... ۱-۴-۳- اضافه کردن مولفه تصادفی	۱۲
..... فصل دوم	۱۴
..... طبقه بندی روش های شبیه سازی	۱۴
..... ۱-۲- مقدمه	۱۵
..... ۱-۲-۱- طبقه بندی بر اساس ماهیت داده ها	۱۵
..... ۱-۲-۲- مدل های نا پیوسته	۱۵
..... ۱-۲-۳- مدل های پیوسته	۱۵
..... ۱-۳-۱- طبقه بندی بر اساس الگوریتم	۱۵
..... ۱-۳-۲- الگوریتم های گوسی	۱۶

۱۶	۲-۳-۲- الگوریتم های شاخص.....
۱۶	۲-۳-۳- الگوریتم انلینینگ.....
۱۶	۴-۳-۲ الگوریتم P-field.....
۱۶	۵-۳-۲ الگوریتم بولین.....
۱۷	۴-۲- طبقه بندی بر اساس شرطی بودن.....
۱۷	۱-۴-۲ شبیه سازی غیر شرطی.....
۱۷	۲-۴-۲ شبیه سازی شرطی.....
۱۸	۱-۲-۴-۲ شرطی سازی.....
۲۰	فصل سوم.....
۲۰	شبیه سازی گوسی متوالی.....
۲۱	۱-۳- مقدمه.....
۲۲	۲-۳- تئوری شبیه سازی.....
۲۵	۳-۳- جزئیات اجرایی شبیه سازی گوسی متوالی.....
۲۵	۱-۳-۳- تخصیص داده ها به گره های شبکه.....
۲۷	۲-۳-۳- داده های محلی.....
۲۷	۱-۲-۳-۳- ماکریمیم تعداد داده ها.....
۳۰	۲-۲-۳-۳- جستجوی داده ها [۱۰ و ۲].....
۳۳	۳-۳-۳- مسیر های شبیه سازی.....
۳۳	۱-۳-۳-۳- مسیر منظم.....
۳۵	۲-۳-۳-۳- مسیر مارپیچی.....
۳۶	۳-۳-۳-۳- مسیر تصادفی.....
۳۶	۴-۳-۳-۳- شبکه های چند گانه.....
۳۷	بخش دوم.....
۳۷	شبیه سازی یکی از میدانیں نفتی جنوب غربی ایران.....
۳۸	فصل چهارم.....
۳۸	کلیات زمین شناسی.....
۳۹	۴-۱- زمین شناسی عمومی.....

۳۹	۴-۲- چینه‌شناسی
۳۹	۴-۱- چینه‌شناسی سازندهای رخمنون در منطقه:.....
۴۰	۴-۲- آسماری و مشخصات منطقه‌ای آن:.....
۴۳	فصل پنجم
۴۳	مطالعات آماری و زمین آماری داده ها
۴۴	۵-۱- مطالعات آماری
۴۴	۵-۱-۱- مقدمه
۴۵	۵-۱-۲- آزمون مقادیر خارج از ردیف
۴۶	۵-۱-۳- بررسی روند
۴۷	۵-۱-۴- بررسی پایایی زون مخزنی و غیر مخزنی در جهت قائم
۴۹	۵-۱-۵- کامپوزیت سازی
۵۰	۵-۱-۶- دی کلاستر کردن داده ها
۵۱	۵-۱-۷- نرمال کردن داده ها
۵۲	۵-۱-۸- تعیین ابعاد بلوک
۵۴	۵-۲- مطالعات واریو گرافی
۵۴	۵-۱-۲- واریو گرافی
۵۴	۵-۲-۲- مدلسازی واریو گرام
۵۵	۵-۳-۲- واریو گرافی غیر جهتی و جهتی
۵۹	فصل ششم
۵۹	شبیه سازی میدان
۶۰	۶-۱- معرفی نرم افزار G SLIB
۶۱	۶-۲- شبیه سازی متغیر تخلخل
۶۱	۶-۱-۲- آنالیز حساسیت پارامتر های شبیه سازی
۶۴	۶-۲-۲- اعتبار سنجی نتایج شبیه سازی
۶۴	۶-۱-۲-۲- هیستوگرام
۶۵	۶-۲-۲-۲- واریو گرام
۶۶	۶-۳-۲- هیستوگرام تحقیق ها و بلوک ها
۷۰	۶-۴-۲- نقشه E -TYPE
۷۱	۶-۵-۲- نقشه های احتمال
۷۳	۶-۳- شبیه سازی در جه اشیاع آب

۷۶ $\varphi(1 - S_W)$ ۶-مدلسازی غیر مستقیم متغیر
۷۸ $\varphi(1 - S_W)$ ۶- شبیه سازی مستقیم متغیر
۸۱ $\varphi(1 - S_W)$ ۶- مقایسه مدلسازی غیر مستقیم و شبیه سازی مستقیم متغیر
۸۴ ۷- تخمین میزان $\phi(1 - S_w)$ در کل میدان
۸۵ ۶- اعتبار سنجی نتایج شبیه سازی با داده های چاه
۸۶ نتیجه گیری و پیشنهادات
۸۶ منابع
- ۱ - پیوست ۱
- ۱ - نتایج آنالیز آماری ، واریو گرافی، آنالیز حساسیت و اعتبار سنجی درجه اشباع آب
- ۷ - پیوست ۲
- ۷ - نتایج آنالیز آماری ، واریو گرافی، آنالیز حساسیت و اعتبار سنجی متغیر $\varphi(1 - S_W)$
- ۱۴ - پیوست ۳
- ۱۴ - نقشه های احتمال متغیر تخلخل
- ۱۹ - پیوست ۴
- ۱۹ - نقشه های احتمال متغیر درجه اشباع آب
- ۲۴ - پیوست ۵
- ۲۴ - نقشه های احتمال متغیر $(\varphi(1 - S_W))$ (شبیه سازی مستقیم)

فهرست اشکال

عنوان	صفحه
شکل ۱-۱- مدل کلی واریو گرام و پارامتر های آن	۶
شکل ۱-۲- تاثیر روند(راست) و تناوب(چپ) بر واریو گرام	۷
شکل ۱-۳- تاثیر انیزوتروپی هندسی(چپ) و منطقه ای (راست) در واریو گرام	۷
شکل ۱-۴- نمایش شبکه ۴ سلولی (A) و تخصیص نزدیکترین داده به گره شبکه در مرکز هر سلول (B)	۲۶
۲-۱- تغییرات افزایش زمان CPU بر حسب تعداد داده شرطی	۲۸
۲-۲- نقشه مکانی داده های اولیه و ۳ نقطه ای که قرار است تخمین زده شود(نقاط پر رنگ)	۲۸
۲-۳- نمودار مربوط به مقادیر تخمینی (A,C,E) و مقادیر واریانس تخمین (B,D,F) برای ۳ نقطه مشخص شده در شکل قبل	۲۹
شکل ۳-۵- مسیر مارپیچی جستجوی داده ها	۳۱
۳-۶- روش SBC برای جستجوی داده ها	۳۲
۳-۷- نمودار زمان لازم برای جستجو توسعه CPU بر حسب تعداد داده ها در دو حالت	۳۲
۳-۸- مارپیچی(خط تو پر) و ترکیب مارپیچی و SBC (نقطه ای)	۳۲
شکل ۳-۹- نمایش مسیر شبیه سازی در روش منظم	۳۴
شکل ۳-۱۰- مقایسه نقشه ها و واریو گرام های باز تو لید شده از شبیه سازی با استفاده از مسی شبیه سازی منظم و تصادفی	۳۴
شکل ۳-۱۱- نمایش مسیر شبیه سازی شبکه های چند گانه	۳۶
شکل ۴-۱: بخشی از میدان که مورد مطالعه قرار گرفته (چپ) و موقعیت چاهها در منطقه مورد مطالعه (راست)	۴۴
شکل ۴-۲: هیستو گرام تخلخل مربوط به داده های اولیه	۴۵
شکل ۴-۳- نمودار داده های تخلخل در جهت Z	۴۶
شکل ۴-۴- نمودار داده های تخلخل در جهت X	۴۶
شکل ۴-۵- نمودار داده های تخلخل در جهت Y	۴۶
شکل ۴-۶- نمودار پایایی زون مخزنی بر حسب تخلخل	۴۷
شکل ۴-۷- نمودار پایایی زون غیر مخزنی بر حسب تخلخل	۴۷
شکل ۴-۸- هیستو گرام فراوانی ضخامت پیوسته زون مخزنی	۴۸
شکل ۴-۹- هیستو گرام فراوانی ضخامت پیوسته زون غیر مخزنی	۴۸
شکل ۴-۱۰- هیستو گرام فراوانی تخلخل بعد از کامپوزیت سازی	۵۰
شکل ۴-۱۱- هیستو گرام فراوانی تخلخل بعد از عملیات دی کلاستر	۵۰
شکل ۴-۱۲- چگونگی نرمال کردن توزیع های غیر نرمال	۵۱
شکل ۴-۱۳- هیستو گرام نرمال شده داده ها	۵۲
شکل ۴-۱۴- هیستو گرام فاصله بین چاهها (هر چاه با تمامی چاهها)	۵۳
شکل ۴-۱۵- هیستو گرام فاصله بین چاهها (هر چاه با چاههای مجاور)	۵۳
شکل ۴-۱۶- واریو گرام غیر جهتی برای داده های استاندارد نرمال شده	۵۵
شکل ۴-۱۷- واریو گرام در جهت ۱۳۵ برای داده های استاندارد نرمال شده	۵۶
شکل ۴-۱۸- واریو گرام در جهت ۴۵ برای داده های استاندارد نرمال شده	۵۶

..... شکل ۱۹-۵- واریوگرام در جهت ۹۰ برای دادهای استاندارد نرمال شده	۵۶
..... شکل ۲۰-۵- بیضوی ناهمسانگردی	۵۷
..... شکل ۲۰-۶- نمایی از نرم افزار WIN GSLIB	۶۰
..... شکل ۲-۶- آنالیز حساسیت نسبت به ابعاد بلوک (نقطه صفر نشان دهنده پارامترهای آماری داده های اولیه می باشد)	۶۲
..... شکل ۳-۶- آنالیز حساسیت نسبت به شعاع جستجو (ابعاد بلوک ۷۵۰*۷۵۰*۷۵۰ و نقطه صفر نشان دهنده پارامترهای آماری داده های اولیه می باشد)	۶۲
..... شکل ۴-۶- آنالیز حساسیت نسبت به تعداد نقاط شرطی شرکت کننده در تخمین (ابعاد بلوک ۷۵۰*۷۵۰*۷۵۰ و نقطه صفر نشان دهنده پارامترهای آماری داده های اولیه می باشد)	۶۳
..... شکل ۵-۶- آنالیز حساسیت نسبت به ماکریزم نقاط شرکت کننده در تخمین (ابعاد بلوک ۷۵۰*۷۵۰*۷۵۰ و نقطه صفر نشان دهنده پارامترهای آماری داده های اولیه می باشد)	۶۳
..... شکل ۶-۶- نمودار متقطع هیستو گرام های اولیه و هیستو گرام های تولید شده (تحقیق ۴۷)	۶۴
..... شکل ۷-۶- نمودار متقطع هیستو گرام های اولیه و هیستو گرام های تولید شده (تحقیق ۷۷)	۶۴
..... شکل ۸-۶- نمودار متقطع پارامترهای آماری تحقق های تولید شده از ۱۰۰ بار شبیه سازی و داده های اولیه (نقطه صفر مربوط به داده های اولیه می باشد)	۶۵
..... شکل ۹-۶- مقایسه واریوگرام ۱۰۰ تحقق شبیه سازی شده با واریو گرام داده های اولیه اولیه در جهت ۱۳۵ (نمودار ضخیم مربوط به داده های اولیه می باشد)	۶۵
..... شکل ۱۰-۶- مقایسه واریوگرام ۱۰۰ تحقق شبیه سازی شده با واریو گرام داده های اولیه درجهت ۹۰ (نمودار ضخیم مربوط به داده های اولیه می باشد)	۶۶
..... شکل ۱۱-۶- هیستو گرام باز تولید شده توسط تحقیق ۱۲	۶۷
..... شکل ۱۲-۶- هیستو گرام باز تولید شده توسط تحقیق ۳۷	۶۷
..... شکل ۱۳-۶- نقشه تحقق ۵۰ در لایه ۳۰ (۶۰ متری پایین تراز TOP مخزن)	۶۸
..... شکل ۱۴-۶- نقشه تحقق ۷۰ در لایه ۳۰ (۶۰ متری پایین تراز TOP مخزن)	۶۸
..... شکل ۱۵-۶- هیستو گرام بلوک شماره ۱۸۰۰۰	۶۹
..... شکل ۱۶-۶- هیستو گرام بلوک شماره ۲۸۰۰۰	۶۹
..... شکل ۱۷-۶- نقشه E-TYPE مربوط به میانگین در لایه ۱۰ مخزن (۲۰ متر پایین تراز TOP مخزن)	۷۰
..... شکل ۱۸-۶- نقشه E-TYPE مربوط به واریانس در لایه ۲۰ مخزن (۴۰ متر پایین تراز TOP مخزن)	۷۱
..... شکل ۱۹-۶- نقشه احتمال عبور از حد ۰/۰۴ برای تخلخل در لایه ۱۰ از میدان	۷۲
..... شکل ۲۰-۶- نقشه احتمال عبور از حد ۰/۰۴ برای تخلخل در لایه ۵۰ از میدان	۷۲
..... شکل ۲۱-۶- هیستوگرام باز تولید شده درجه اشباع آب توسط تحقیق ۳	۷۳
..... شکل ۲۲-۶- نقشه تحقق ۳ در لایه ۲۰ (۴۰ متری پایین تراز TOP مخزن)	۷۴
..... شکل ۲۳-۶- نقشه تحقق ۱۶ در لایه ۲۰ (۴۰ متری پایین تراز TOP مخزن)	۷۴
..... شکل ۲۴-۶- نقشه E-TYPE مربوط به میانگین در لایه ۲۰ مخزن (۴۰ متر پایین تراز TOP مخزن)	۷۵
..... شکل ۲۵-۶- نقشه احتمال عبور از حد ۰/۴ برای درجه اشباع در لایه ۲۰ از میدان	۷۵
..... شکل ۲۶-۶- هیستوگرام باز تولید شده درجه اشباع آب توسط تحقیق مصنوعی ۵۰	۷۶
..... شکل ۲۷-۶- نقشه تحقق مصنوعی ۱ در لایه ۲۰ (۴۰ متری پایین تراز TOP مخزن)	۷۷
..... شکل ۲۸-۶- نقشه تحقق مصنوعی ۵۰ در لایه ۲۰ (۴۰ متری پایین تراز TOP مخزن)	۷۷

..... ۷۸ ۲۹-۶- نقشه احتمال عبور از حد ۰/۰۳ در لایه ۴۰ از میدان.....
..... ۷۸ ۳۰-۶- هیستوگرام باز تولید شده درجه اشباع آب توسط تحقق ۵
..... ۷۹ ۳۱-۶- نقشه تحقق ۱۰ در لایه ۲۰ (۴۰متری پایین تر از TOP مخزن).....
..... ۷۹ ۳۲-۶- نقشه تحقق ۲۰ در لایه ۲۰ (۴۰متری پایین تر از TOP مخزن).....
..... ۸۰ ۳۳-۶- نقشه E-TYPE مربوط به میانگین در لایه ۲۰ مخزن (۴۰متر پایین تر از TOP مخزن).....
..... ۸۰ ۳۴-۶- نقشه احتمال عبور از حد ۰/۰۳ در لایه ۲۰ از میدان.....
..... ۸۱ ۳۵-۶- نمودار متقطع نقشه های E-TYPE مدلسازی غیر مستقیم (افقی) و شبیه سازی مستقیم (قائم).....
..... ۸۲ ۳۶-۶- مقایسه هیستوگرام تحقق ها در مدلسازی غیر مستقیم (راست) و شبیه سازی مستقیم (چپ).....
..... ۸۲ ۳۷-۶- مقایسه هیستوگرام بلوک ها در مدلسازی غیر مستقیم (چپ) و شبیه سازی مستقیم (راست).....
..... ۸۳ ۳۸-۶- نمو دار متقطع مقادیر مربوط به بلوک ها توسط مدلسازی غیر مستقیم (افقی) و شبیه سازی مستقیم (قائم).....
..... ۸۳ ۳۹-۶- نمودار متقطع مقادیر احتمال توسط مدلسازی غیر مستقیم (افقی) و شبیه سازی مستقیم (قائم).....
..... ۸۳	که نمودار سمت راست مربوط به حد آستانه ۰/۰۲ و سمت چپ مربوط به حد آستانه ۰/۰۵.....
..... ۴۰-۶	- نمودار حجم فضای خالی پر شده از هیدروکربور (قائم) بر حسب حد آستانه های مختلف از متغیر ($S_w - S^{\varphi}$) (افقی) در سطح اعتماد های مختلف برای این میدان

..... ۸۵ ۴۱-۶- نقشه پراکندگی میزان شاخص تولید از مخزن آسماری میدان مورد مطالعه.....
..... ۶ ۴۲-۶- نقشه احتمال عبور از حد ۰/۰۳ متغیر ($S_w - S^{\varphi}$) در لایه ۴۰ (راست) و ۲۰ (چپ) از میدان مورد مطالعه.....
..... ۲ -	پ-۱- هیستوگرام داده های اولیه.....
..... ۳ -	پ-۱-۲- هیستوگرام داده های کامپوزیت شده.....
..... ۳ -	پ-۱-۳- هیستوگرام داده های نرمال شده.....
..... ۴ -	پ-۱-۴- مدلسازی واریوگرام در جهت ۱۳۵ درجه (جهت اصلی نامسانگردی).....
..... ۴ -	پ-۱-۵- آنالیز حساسیت نسبت به ابعاد بلوک (نقطه صفر نشان دهنده پارامتر های آماری داده های اولیه می باشد) ..
..... ۵ -	پ-۱-۶- آنالیز حساسیت نسبت به شعاع جستجو (ابعاد بلوک ۷۵۰*۷۵۰*۷۵۰ و نقطه صفر.....
..... ۵ -	نشان دهنده پارامتر های آماری داده های اولیه می باشد).....
..... ۵ -	پ-۱-۷- آنالیز حساسیت نسبت به تعداد نقاط شرطی شرکت کننده در تخمین (ابعاد بلوک ۷۵۰*۷۵۰*۷۵۰ و نقطه صفر نشان دهنده پارامتر های آماری داده های اولیه می باشد).....
..... ۵ -	پ-۱-۸- آنالیز حساسیت نسبت به ماکریزم نقاط شرکت کننده در تخمین (ابعاد بلوک ۷۵۰*۷۵۰*۷۵۰ و نقطه صفر نشان دهنده پارامتر های آماری داده های اولیه می باشد).....
..... ۶ -	پ-۱-۹- نمودار متقطع هیستوگرام های اولیه و هیستوگرام های تولید شده (تحقیق ۱۵).....
..... ۶ -	پ-۱-۱۰- مقایسه واریوگرام ۱۰۰ تحقق شبیه سازی شده با واریوگرام داده های اولیه در
..... ۶ -	جهت ۱۳۵ (نمودار ضخیم مربوط به داده های اولیه می باشد).....
..... ۸ -	پ-۱-۱۲- هیستوگرام داده های اولیه.....
..... ۹ -	پ-۱-۱۳- هیستوگرام داده های کامپوزیت شده.....
..... ۹ -	پ-۱-۱۴- هیستوگرام داده های نرمال شده.....
..... ۱۰ -	پ-۱-۱۵- مدلسازی واریوگرام در جهت ۱۳۵ درجه (جهت اصلی نامسانگردی).....

پ-۲-۵- آنالیز حساسیت نسبت به ابعاد بلوک (نقطه صفر نشان دهنده پارامتر های آماری داده های اولیه می باشد) - ۱۰

- ۱۱ - آنالیز حساسیت نسبت به شعاع جستجو (ابعاد بلوک $750 \times 750 \times 750$ و نقطه صفر نشان دهنده پارامتر های آماری داده های اولیه می باشد)
- ۱۱ - آنالیز حساسیت نسبت به تعداد نقاط شرطی شرکت کننده در تخمین (ابعاد بلوک $750 \times 750 \times 750$ و نقطه صفر نشان دهنده پارامتر های آماری داده های اولیه می باشد)
- ۱۱ - آنالیز حساسیت نسبت به ماکریزم نقاط شرکت کننده در تخمین (ابعاد بلوک $750 \times 750 \times 750$ و نقطه صفر نشان دهنده پارامتر های آماری داده های اولیه می باشد)
- ۱۲ - آنالیز حساسیت نسبت به نمودار متقطع پارامتر های آماری تحقق های تولید شده از ۱۰۰ بار شبیه سازی و داده های اولیه (نقطه صفر مربوط به داده های اولیه می باشد)
- ۱۲ - شکل پ-۹- نمودار متقطع پارامتر های آماری تحقق های تولید شده از ۱۰۰ بار شبیه سازی و داده های اولیه (نقطه صفر مربوط به داده های اولیه می باشد)
- ۱۳ - پ-۱۰- مقایسه واریوگرام ۱۰۰ تحقق شبیه سازی شده با واریوگرام داده های اولیه در جهت ۱۳۵ (نمودار ضخیم مربوط به داده های اولیه می باشد)
- ۱۳ - شکل پ-۱- نقشه احتمال عبور از حد 0.04 برای تخلخل در لایه ۱۰ از میدان
- ۱۵ - شکل پ-۲- نقشه احتمال عبور از حد 0.04 برای تخلخل در لایه ۲۰ از میدان
- ۱۵ - شکل پ-۳- نقشه احتمال عبور از حد 0.04 برای تخلخل در لایه ۳۰ از میدان
- ۱۶ - شکل پ-۴- نقشه احتمال عبور از حد 0.04 برای تخلخل در لایه ۴۰ از میدان
- ۱۷ - شکل پ-۵- نقشه احتمال عبور از حد 0.04 برای تخلخل در لایه ۵۰ از میدان
- ۱۷ - شکل پ-۶- نقشه احتمال عبور از حد 0.04 برای تخلخل در لایه ۶۰ از میدان
- ۱۸ - شکل پ-۷- نقشه احتمال عبور از حد 0.04 برای تخلخل در لایه ۷۰ از میدان
- ۱۸ - شکل پ-۸- نقشه احتمال عبور از حد 0.04 برای تخلخل در لایه ۸۰ از میدان
- ۲۰ - پ-۱- نقشه احتمال عبور از حد 0.04 برای درجه اشباع آب در لایه ۱۰ از میدان
- ۲۰ - پ-۲- نقشه احتمال عبور از حد 0.04 برای درجه اشباع آب در لایه ۲۰ از میدان
- ۲۱ - پ-۳- نقشه احتمال عبور از حد 0.04 برای درجه اشباع آب در لایه ۳۰ از میدان
- ۲۱ - پ-۴- نقشه احتمال عبور از حد 0.04 برای درجه اشباع آب در لایه ۴۰ از میدان
- ۲۲ - پ-۵- نقشه احتمال عبور از حد 0.04 برای درجه اشباع آب در لایه ۵۰ از میدان
- ۲۲ - پ-۶- نقشه احتمال عبور از حد 0.04 برای درجه اشباع آب در لایه ۶۰ از میدان
- ۲۳ - پ-۷- نقشه احتمال عبور از حد 0.04 برای درجه اشباع آب در لایه ۷۰ از میدان
- ۲۳ - پ-۸- نقشه احتمال عبور از حد 0.04 برای درجه اشباع آب در لایه ۸۰ از میدان
- ۲۵ - پ-۹- نقشه احتمال عبور از حد 0.03 متغیر ($S_w - 1$) در لایه ۱۰ از میدان
- ۲۵ - پ-۱۰- نقشه احتمال عبور از حد 0.03 متغیر ($S_w - 1$) در لایه ۲۰ از میدان
- ۲۶ - پ-۱۱- نقشه احتمال عبور از حد 0.03 متغیر ($S_w - 1$) در لایه ۳۰ از میدان
- ۲۶ - پ-۱۲- نقشه احتمال عبور از حد 0.03 متغیر ($S_w - 1$) در لایه ۴۰ از میدان
- ۲۷ - پ-۱۳- نقشه احتمال عبور از حد 0.03 متغیر ($S_w - 1$) در لایه ۵۰ از میدان
- ۲۷ - پ-۱۴- نقشه احتمال عبور از حد 0.03 متغیر ($S_w - 1$) در لایه ۶۰ از میدان
- ۲۸ - پ-۱۵- نقشه احتمال عبور از حد 0.03 متغیر ($S_w - 1$) در لایه ۷۰ از میدان
- ۲۸ - پ-۱۶- نقشه احتمال عبور از حد 0.03 متغیر ($S_w - 1$) در لایه ۸۰ از میدان

فهرست جداول

عنوان	صفحه
جدول ۱-۵- مقایسه پارامتر های آماری داده های اولیه و دی کلاستر شده.	۵۱
جدول ۲-۵- مشخصات واریو گرام در جهات متفاوت	۵۷
جدول پ ۱-۱- مشخصات واریو گرافی در جهات متفاوت	- ۴ -
جدول پ ۱-۲- مشخصات واریو گرافی در جهات متفاوت	- ۱۰ -

مقدمه

یکی از صنایعی که ژئوستاتیستیک با سرعت بسیاری در آن همه گیر شد صنایع نفت و گاز می باشد. یکی از علل این رشد سریع به ماهیت داده های مخزن بر می گردد. داده های پتروفیزیکی مخازن نظری: تخلخل، تراوایی و درجه اشباع، داده هایی می باشند که در فضای مخزن ارتباط و همبستگی فضایی نشان می دهند و به زبان زمین آماری ساختار فضایی نشان می دهند و این همان نوع متغیر هایی می باشد که زمین آمار در مورد آنها عمل می کند.

از طرف دیگر با توجه به داده های کم مخزن در مقیاس با حجم مخزن، همواره مهندسان مخزن در پی یافتن روشی جهت تخمین توزیع فضایی پارامترهای پتروفیزیکی در فضای مخزن بوده اند. آشنا شدن مهندسان مخزن با علم ژئوستاتیستیک و توانایی های این علم و کاربرد فراوان آن در تخمین پارامترهای پتروفیزیکی باعث شد که ژئوستاتیستیک در بین مهندسان به عنوان یکی از روشهای مهم در تخمین پارامترهای پتروفیزیکی مطرح شود.

در کنار تمام مزایای روشهای تخمین ژئوستاتیستیکی نسبت به روشهای دیگر تخمین، این واقعیت به چشم می خورد که روشهای تخمین ژئوستاتیستیکی نیز مانند روشهای دیگر اینترپولاسیون متکی به نوعی میانگین گیری می باشند. لذا همواره کاهش دامنه نوسانات از ویژگی های آنها می باشد. به این ترتیب این روشهای برای نشان دادن روند ها در مخزن مناسب می باشند ولی برای شبیه سازی جریان در جاهایی که مقادیر آستانه ای دارای اهمیت می باشد نامناسب می باشد. این مهم مهندسان را بر آن داشت که به روشهای نوین روی آورند. از جمله این روشهای روشهای شبیه سازی زمین آماری است.

روشهای شبیه سازی زمین آماری ناهمگنی پارامترهای پتروفیزیکی بطور دقیق تری به تصویر می کشد. در سالیان اخیر استفاده از شبیه سازی زمین آماری به عنوان روشی جهت به تصویر کشیدن واقعیت های محتمل ناهمگنی پارامترهای پتروفیزیکی رشد بسیاری داشته است. این روشهای بیان کمی از توزیع فضایی پارامترهای پتروفیزیکی در یک فضای احتمال پذیر دارند. بدین ترتیب پس از بلوک بندی مخزن برای هر بلوك بازه ای از داده ها ایجاد می کند لذا برای هر پارامتر های پتروفیزیکی، چندین واقعیت محتمل شبیه سازی می شود.

مهمترین خاصیت شبیه سازی زمین آماری این است که به جای بهترین تخمین مجموعه ای از نقشه های توزیع هر پارامتر پتروفیزیکی را در مخزن نفتی تولید می کند که همگی شباهت معینی داشته باشد. آن شباهت معین به زبان زمین آماری همان هیستوگرام و واریوگرام یکسان است. به این ترتیب می توانیم بر اساس واقعیت های ایجاد شده بهترین حالت و بدترین حالت را ایجاد نماییم. ایجاد محتمل ترین، کم احتمال ترین و ... توانایی بررسی رفتار و عملکرد مخزن را در حالت های مختلف در اختیار مهندسین مخزن قرار می دهد. به این ترتیب می توان عملکرد مخزن را در حالت های مختلف شبیه سازی نمود.

در هر شبیه سازی با تحقق های محتملی از منطقه مواجه می شویم که هر حالت تحقق یافته با حالت تحقق یافته دیگر تفاوت دارد. لذا هر تحقق یافته را می توان محصول یک شبیه سازی دانست نه یک تخمين. از این لحاظ می توان هدف اصلی شبیه سازی را دست یابی مجدد به پراش داده های ورودی دانست.

در این پایان نامه از روش شبیه سازی گوسی متوالی استفاده شده است. این پایان نامه شامل ۲ بخش است. که بخش اول مربوط به اصول زمین آمار می بشد و بخش دوم مربوط به شبیه سازی یک میدان می باشد.

بخش اول شامل ۳ فصل است که در فصل اول اصول زمین آمار کاربردی توضیح داده شده است. در فصل دوم روش های شبیه سازی آماری طبقه بندی شده و شبیه سازی گوسی متوالی در فصل سوم آمده است.

فصل چهارم زمین شناسی منطقه را بررسی می کند. در فصل پنجم مطالعات آماری و واریو گرافی بر روی داده ها انجام شده و در فصل ششم به شبیه سازی این میدان پرداخته شده است.

بخش اول: اصول زمین‌آمار کاربردی

فصل اول

مقدمه ای بر زمین آمار

۱-۱- مقدمه

۱-۱-۱- تاریخچه زمین آمار

استفاده از روش‌های آماری در مسائل زمین‌شناسی و معدن و به همان نسبت آب شناسی و پیش از آن هواشناسی مربوط به زمان حال نمی‌باشد. مدت‌ها زمین آمار به معنی کاربرد آمار در مسائل زمین‌شناسی و به معنی عام مسائل در رابطه با علوم زمین می‌بود. لیکن آغاز استفاده از زمین آمار به شکل امروز از اواسط دهه ۶۰ و به طور فراگیر در میانه دهه ۷۰ و توسط فردی به نام پروفسور جرج ماترون^۱ بوده است و شاید تا به امروز نیز برترین و برجسته‌ترین فعالیت‌ها در این زمینه بشمار آید.[۱]

۱-۱-۲- تعریف زمین آمار

از یک نظر زمین آمار را می‌توان راهکاری جهت درونیابی و ارتباط دادن داده‌ها در یک محیط غیر متجانس دانست. لیکن این تصور تا حدودی ابتدایی و ساده‌انگارانه است. زیرا متدهای دورنیابی و بروندیابی مختلفی قبل از اینکه زمین آمار مطرح شود پذیرفته شده بودند که از جمله می‌توان روش‌های عکس فاصله و روش‌های آنالیز روند سطحی را نام برد. قبل از هر موردی باید خاطر نشان ساخت زمین آمار با دید خاص خود به داده‌ها می‌نگرد که ویژگی عمدۀ آن اهمیت مکانی داده‌هاست و همچنین ارتباط حجم داده‌ها با مختصات آنها.

با استفاده از روش‌های زمین آماری سعی بر این است که بهترین تخمین‌گر را برای کلیه نقاط محیط محاسبه نموده و مدل مناسب را ارائه نماییم که آن تخمین‌گر بر اساس موقعیت مکانی نقاط مجہول شناسایی خواهد شد به بیان ساده‌تر مقدار هر نقطه در این فضا که فاقد مقدار اندازه‌گیری باشد، قابل محاسبه و تخمین خواهد بود. هر چند روش‌های مختلفی جهت این عملیات موجود است لیکن بهترین تخمین‌گر حداقل در محیط زمین که با مسائلی چون روند^۲ و انیزوتربوی مواجه‌ایم تخمین‌گری است که دارای وابستگی مکانی باشد و این تخمین‌گر توسط علم زمین آمار ارائه خواهد شد.[۱]

۱-۲- واریوگرام

واریوگرام مقداری است که بیانگر سرعت تغییرات مقادیر بر حسب جایگاهی حول میانگین می‌باشد. تعریف فوق بر این مبنای استوار است که دو نمونه نزدیک به هم شباهت دارند تا دو نمونه دورتر از یکدیگر، یعنی شباهت نمونه‌ها با فاصله گرفتن از یکدیگر تغییر می‌کنند. مسلماً در یک محیط نمونه‌برداری غیر همگن سرعت این تغییرات در جهات متفاوت، مختلف خواهد بود.[۱]

واریوگرام یک تابع سه بعدی می‌باشد (در سه جهت) که دارای دو متغیر مستقل امتداد و گام و یک متغیر وابسته (a , h) می‌باشد و هنگامی که واریوگرام برای محاسبات کریجینگ بکار گرفته شود مقادیر سقف^۳، دامنه تأثیر^۴ و مؤلفه تصادفی واریانس اهمیت پیدا می‌کنند. این مقادیر و مقادیر

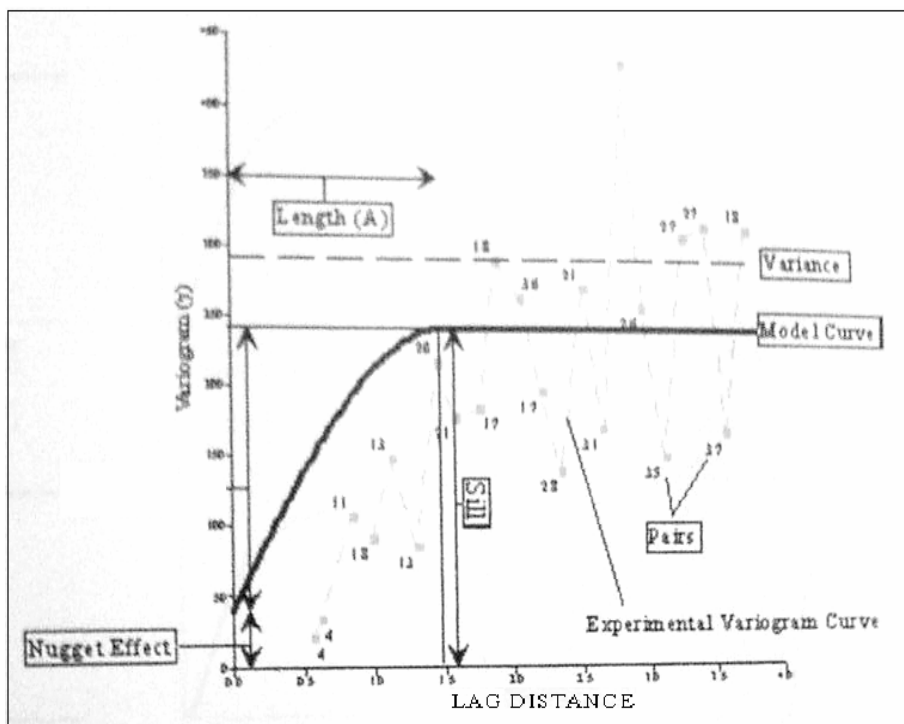
¹-Georges matheron .

²-trend

³-sill

⁴-range

آنیزوتروپی در هر نوع محاسبه زمین‌آماری بعنوان پارامترهای اساسی جهت ایجاد شبکه محاسبه واریوگرام، مدل‌سازی، تخمین و شبیه‌سازی‌های وابسته به واریوگرام مورد توجه قرار دارند. در شکل ۱-۱ نمایی از مدل واریوگرام آمده است.



شکل ۱-۱- مدل کلی واریوگرام و پارامترهای آن

مولفه‌های تشکیل دهنده واریوگرام بصورت زیر است.

مولفه تصادفی واریانس^۱(ناغت): به میزان تغییر پذیری در $h=0$ اطلاق می‌شود و به کیفیت نمونه‌برداری و میزان خطای موجود در برداشت و انتقال نمونه و مقادیر آن و همچنین تغییرات کوچکتر مقیاس بستگی دارد.

مولفه ساختاری واریانس: برابر با مقدار عمودی تغییرات در مدل واریوگرام است

سقف: به مجموع مقادیر مولفه ساختاری و مولفه بدون ساختار تغییر پذیری اطلاق می‌شود.

شعاع تاثیر: حد تاثیر نمونه‌ها در بعد مسافت به یکدیگر. بعضی مدل‌ها فاقد این مقدار می‌باشند زیرا

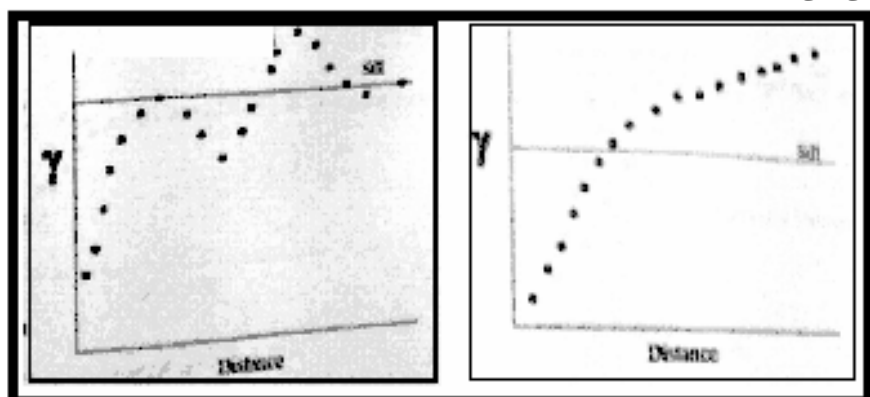
هیچ‌گاه مقادیر واریوگرام ثابت نخواهند داشت. [۱]

از عوامل تاثیرگذار در مدل واریوگرام می‌توان به موارد زیر اشاره نمود:

¹-nugget

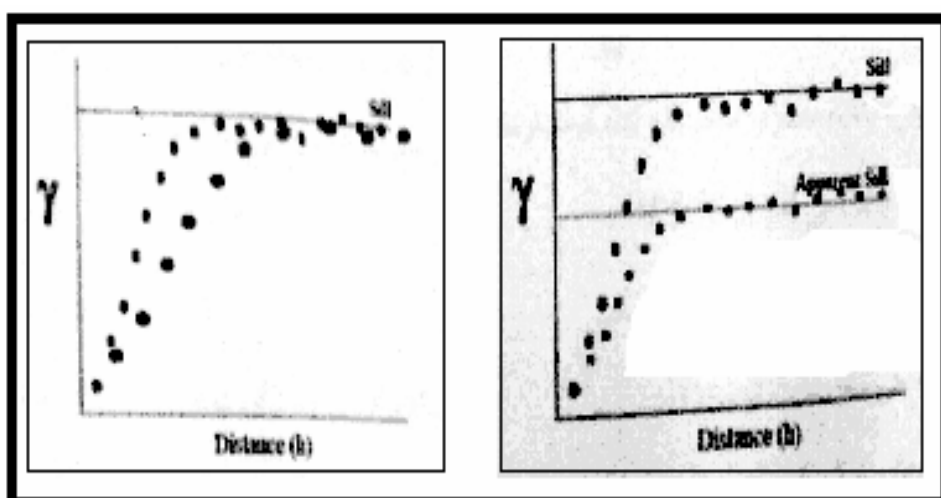
رونده: که باعث وجود شیب عمومی در مدل واریوگرام می‌گردد بدین معنی که به جای رسیدن واریوگرام به سقف ثابت، نمودار به شیب ثابت که ناشی از روند عمومی منطقه است خواهد رسید (شکل ۱-۲).

تناوب^۱: که عبارت از تناوب در تغییرات مقادیر حاصل از نمونه‌برداری می‌باشد. این عامل می‌تواند ناشی از ساختار خاص زمین‌شناسی منطقه یا محدودیت نمونه‌برداری باشد که به دنباله واریوگرام شکل سینوسی می‌دهد (شکل ۱-۳).



شکل ۱-۲- تاثیر روند(راست) و تناوب(چپ) بر واریوگرام

آنیزوتropی هندسی^۲: که باعث تغییرات شعاع تاثیر در جهات مختلف می‌گردد. (شکل ۱-۳). آنیزوتropی منطقه‌ای^۳: که باعث تغییر در سقف واریوگرام در جهات مختلف می‌گردد. (شکل ۱-۳).



شکل ۱-۳- تاثیر آنیزوتropی هندسی(چپ) و منطقه‌ای (راست) در واریوگرام

¹-cyclicity

²-geometric anisotropy

³-zonal anisotropy